

Smoothed Particle Hydrodynamics

SPH

Implementierung für das Software-Praktikum
im SS 2008

Johannes Willkomm

Martin Bucker

Michael Lulfesmann

Arno Rasch

Andreas Wolf

SPH Überblick

- Smoothed Particle Hydrodynamics (SPH) wird zur Diskretisierung von partiellen Differenzialgleichungen verwendet.
- Die Methode kommt ohne das sonst übliche feste Gitter aus
 - Phasengrenzen daher kein Problem
- Lagrange-Ansatz (statt Euler-Gleichungen)
 - Partikel mit fester Masse: diese bleibt automatisch erhalten
- Kernfunktion ist verschmierte Dirac-Funktion
 - Partikel innerhalb der Einflußlänge h beeinflussen sich
- Nachteile
 - Da die Partikel sich frei bewegen können wenig Kontrolle über die Auflösung an einem bestimmten Ort
 - Physikalische Korrektheit?

Unser Ansatz

- Weitgehend wie in Monaghan „Simulating Free Surface Flows with SPH“
 - d -dimensional, $d=2, d=2$
 - Mit Spline-Kernfunktion (aus Liu & Liu)

$$W(r) = \begin{cases} \alpha_d \left(\frac{2}{3} - \left(\frac{r}{h} \right)^2 + \frac{1}{2} \left(\frac{r}{h} \right)^3 \right) & 0 < r < h \\ \alpha_d \left(2 - \frac{r}{h} \right)^3 & h < r < 2h \\ 0 & \text{sonst} \end{cases}$$

- Variablen: Position \mathbf{x} , Geschwindigkeit \mathbf{v} , Dichte ρ , Wärme u
- Zustandsgleichung für Druck P (andere möglich)

$$P = B \left(\left(\frac{\rho}{\rho_0} \right)^{\gamma} - 1 \right)$$

Unser Ansatz

- Geschwindigkeit

$$\frac{d \mathbf{v}_i}{d t} = - \sum_{j \in \text{Wasser}(N(i))} m_j \left(\frac{P_i}{\rho_i} + \frac{P_j}{\rho_j} + \Pi_{ij} \right) \nabla_i W_{ij} + \sum_{j \in \text{LJ}(N(i))} LJ_{ij} + \mathbf{F}_i$$

- $\text{Wasser}(N(i))$: Wasser-Partikel in Nachbarschaft von i
- $\text{LJ}(N(i))$: Randpartikel in Nachbarschaft von i
- \mathbf{F}_i Kräfte (Schwerkraft)
- $\nabla_i W_{ij}$ Ableitung der Kernfunktion (Gradient) bzgl. Ort von i
- Π_{ij} Viskosität verhindert Durchdringung der Partikel
- LJ_{ij} Beschleunigung durch Randpartikel j

- Dichte $\frac{d \rho_i}{d t} = \sum_{j \in \text{Wasser}(N(i))} m_j (\mathbf{v}_i - \mathbf{v}_j) \nabla_i W_{ij}$

- Wärme $\frac{d u_i}{d t} = \frac{1}{2} \sum_{j \in \text{Wasser}(N(i))} m_j \left(\frac{P_i}{\rho_i} + \frac{P_j}{\rho_j} + \Pi_{ij} \right) (\mathbf{v}_i - \mathbf{v}_j) \nabla_i W_{ij}$

Lennard-Jones Randpartikel

- Verlässt ein Partikel das Simulationsgebiet Ω wird es nicht mehr berücksichtigt
- Randpartikel bilden Wände für die Flüssigkeit (Gefäße)
 - Sie üben nur eine ablenkende Beschleunigung aus
 - Abgeschnittenes Lennard-Jones-Potential:

$$LJ_{ij} = \begin{cases} D \left(\left(\frac{r_0}{r} \right)^{2p_1} - \left(\frac{r_0}{r} \right)^{p_1} \right) \frac{\mathbf{x}_i - \mathbf{x}_j}{r}, & r < r_0 \\ 0, & r \geq r_0 \end{cases}$$

- D , p_1 und r_0 sind Parameter und $r = \|\mathbf{x}_i - \mathbf{x}_j\|$
- Wegen der Nachbarsuche verlangen wir, daß der Einfluß der Randpartikel nicht weiter reicht als die der Kernfunktion:

$$r_0 \leq 2h$$

Örtliches Raster

- Das Rechengebiet Ω wird definiert über zwei Punkte P_1, P_2
 - Länge in jeder Dimension: $L = P_2 - P_1$
- Da die *smoothing length* h fest und für alle Partikel gleich ist, verwenden wir ein globales Raster der Länge $H = 2h$
 - Jedes Partikel erhält dadurch einen d -dimens. Integer Index
$$I = \text{floor}\left(\frac{\mathbf{x} - P_1}{H}\right)$$
 - Die Anzahl Rasterzellen in jeder Dimension ist $N = \text{ceil}\left(\frac{L}{H}\right)$
 - und insgesamt:

$$n_R = \prod N \sim O\left(\left(\frac{1}{h}\right)^d\right)$$

Örtliches Raster

- Die Raster-Zellen werden durchnummeriert „wie üblich“
 - Jede Zelle erhält dadurch einen 1-D Integer-Index i
- Berechnung:

$$i = I * W$$

mit

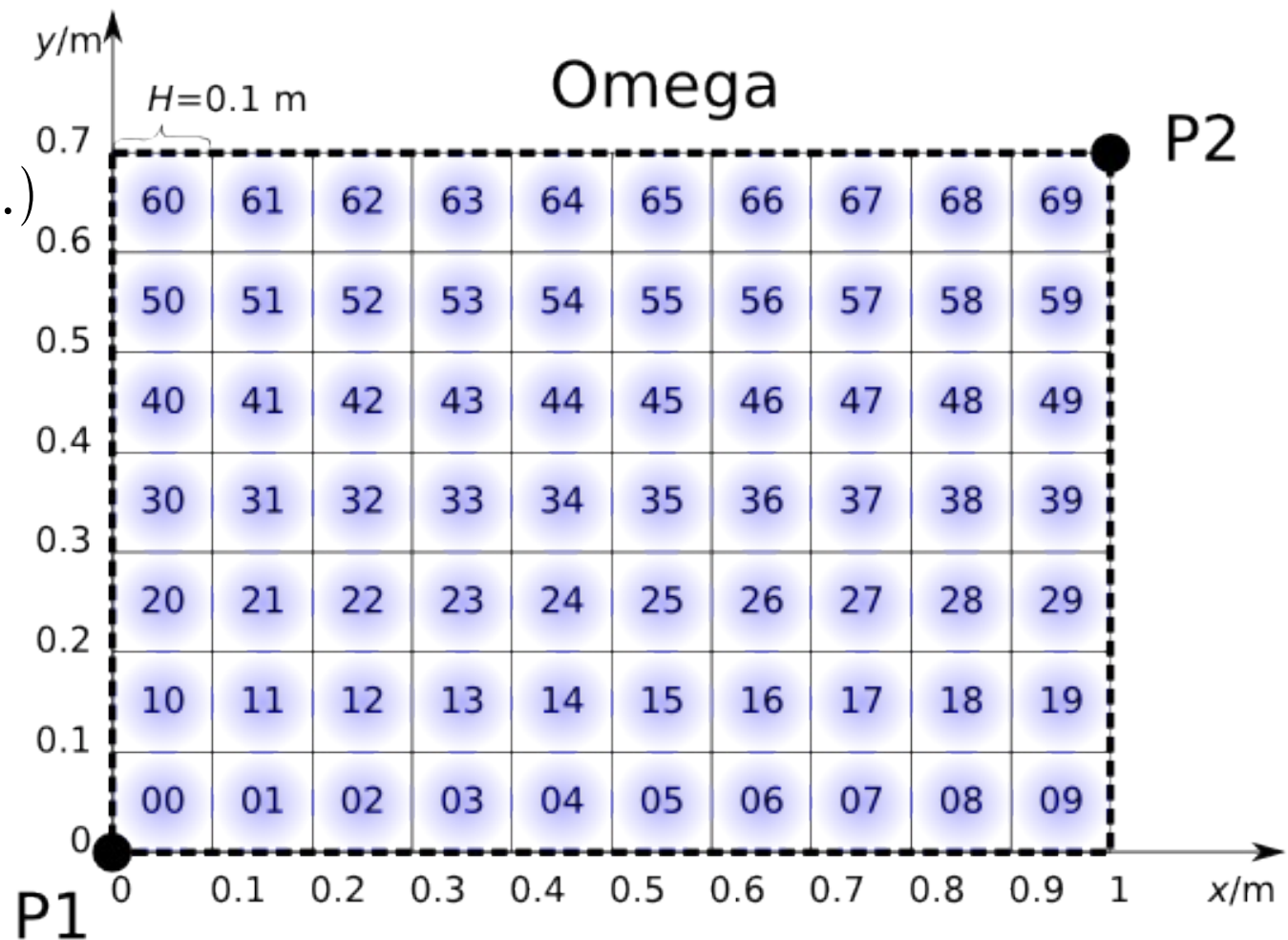
$$\boldsymbol{W} = (1, N_0, N_0 N_1, \dots)$$

- hier:

$$N_0=10$$

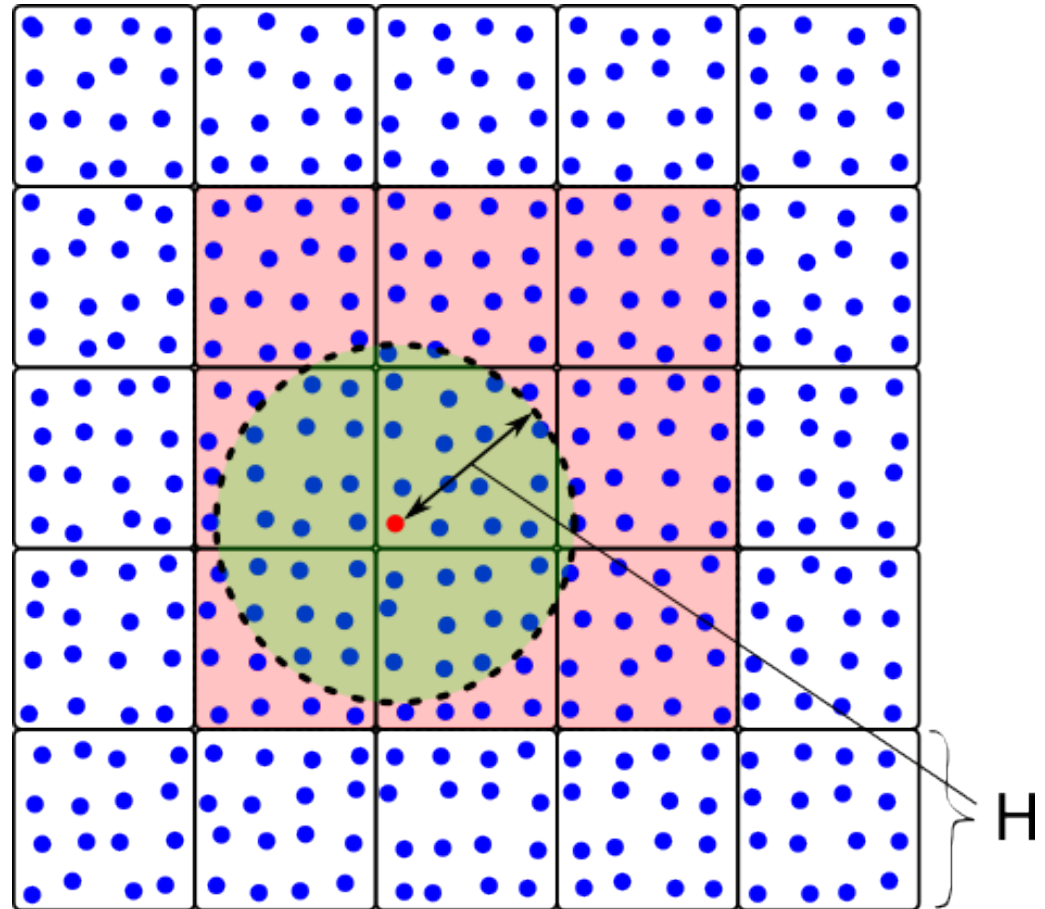
$$N_1=7$$

$$W = (1, 10)$$



Summation der Einflüsse (einfach)

- Für alle (beweglichen) Partikel:
 - Teste alle Partikel in gleicher und umliegenden Zellen ob Abstand $< 2h$
 - Alle anderen sind auf jeden Fall weiter entfernt
- Anzahl umliegender Zellen:
 $n_d = 3^d$, $n_1 = 3$, $n_2 = 9$, $n_3 = 27$
- Bild: Nachbar-Zellen in 2D

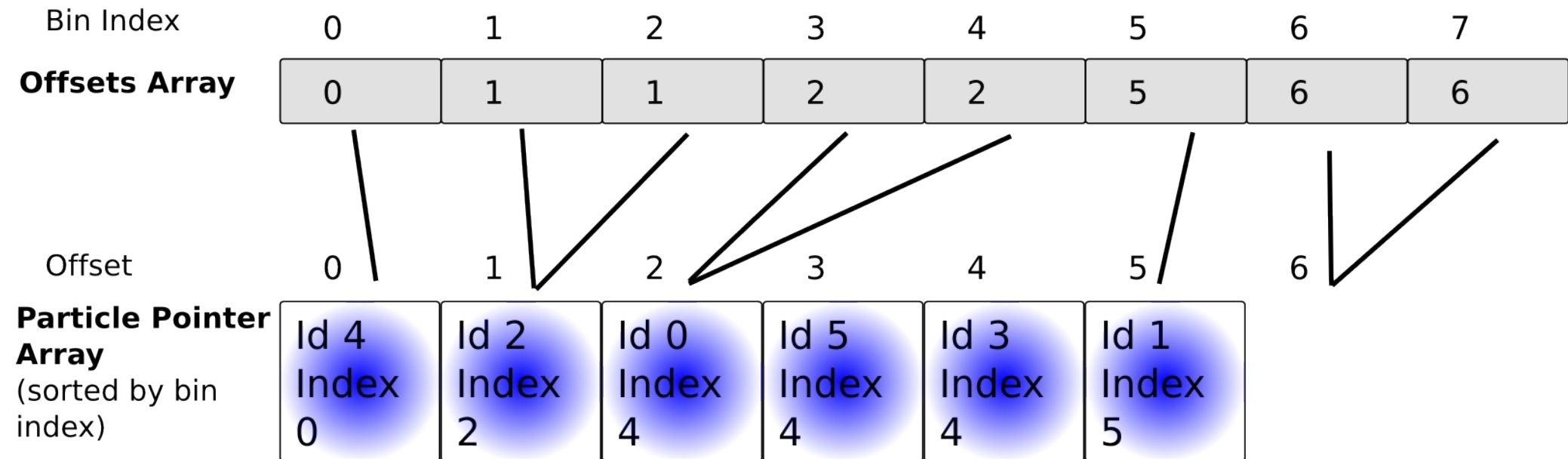


Lookup Zelle->Partikel

- Grundidee: Eine Liste je Rasterzelle
 - Jede Liste enthält Zeiger auf Partikel in der Zelle
- Klasse SortedParticleIndex enthält
 - Vektor pointers mit Zeigern auf alle Partikel, sortiert nach 1D-Integer-Index (Länge n)
 - Partikel in gleicher Zelle liegen nebeneinander (*runs*)
 - Vektor offsets (Länge n_R) enthält Begin des *runs* je Zelle
- Liste von Zelle $i = run$ der Partikel mit Index i in pointers
- Anzahl der Partikel in Zelle $i = \text{offsets}[i+1] - \text{offsets}[i]$

Lookup Zelle->Partikel

- Beispiel: $n_R=8$ Raster-Zellen, $n=6$ Partikel
- Beginn der Liste Zelle i : $\text{offsets}[i]$, Länge: $\text{offsets}[i+1] - \text{offsets}[i]$



- 1 Partikel in Zelle 0
- 1 Partikel in Zelle 2
- 3 Partikel in Zelle 4
- 1 Partikel in Zelle 5

Aktualisieren der Datenstruktur

- Sortiere Liste pointers mit parallelem Integer-Sortieralgorithmus
 - Schneller als allgemeines vergleichsbasiertes Sortieren
 - Hier anwendbar: Maximal n_R mögliche Indizes
- Paralleles Counting Sort nach
 - „Practical parallel algorithms for personalized communication and integer sorting“ (1996)
 - David A. Bader, David R. Helman and Joseph J'aj'a
 - ACM Journal of Experimental Algorithmics
- Erstellt Histogramm hist (zähle Partikel in jeder Zelle)
- Dann Präfixsummen pref davon:
$$\text{pref}[i] = \sum_{j=0}^i \text{hist}[j]$$
 - offsets = shift(pref, 1)
 - Was vorher in einem Postprocessing-Schritt erstellt werden mußte ist hier Nebenprodukt des Sortieralgorithmus!

Paralleles Histogram

- N = Anzahl Daten, $m_valueRange$ = Anzahl mögl. Werte

- omp parallel:

```
myLocalCount = localCounts + myid;  
myLocalCount->resize(m_valueRange);
```

```
#ifdef _OPENMP  
#pragma omp for  
#endif  
    for(long i = 0; i < N; ++i) {  
        value_type v = m_valueGetter(*(beg + i));  
        ++(*myLocalCount)[v];  
    }  
  
    for(size_t j = 0; j < nthreads; ++j) {  
#ifdef _OPENMP  
#pragma omp for  
#endif  
        for(long i = 0; i < long(m_valueRange); ++i) {  
            m_counts[i] += localCounts[j][i];  
        }  
    }
```

Parallele Präfixsummen

- myLowN, myHighN: Bereich der Daten von Thread
 - omp parallel:

```
for(size_t i = myLowM + 1; i < myHighM; ++i) {  
    m_histogram[i] += m_histogram[i-1];  
}
```

```
totals[myid] = m_histogram[myHighM - 1];
```

```
#ifndef _OPENMP  
#pragma omp barrier  
#endif
```

```
if (myid == 0) {  
    for(size_t i = 1; i < nthreads; ++i) {  
        totals[i] += totals[i - 1];  
    }  
}
```

```
#ifndef _OPENMP  
#pragma omp barrier  
#endif
```

```
if (myid > 0) {  
    size_t const myTotal = totals[myid-1];  
    for(size_t i = myLowM; i < myHighM; ++i) {  
        m_histogram[i] += myTotal;  
    }  
}
```

3-Schritt Paralleles Counting Sort

- Es wird anhand der Präfixsummen in drei Schritten umsortiert
 - „An h-balanced personal communication“
 - $h = N/p^2 + p/2$
 - Zwei Schritte in denen sich die Prozessoren gegenseitig Aufgaben zuweisen
 - Dazu können zwei Arrays der Größe $p \times p \times h$ verwendet werden
 - Im 2. und 3. Schritt maximal $p * h$ Werte für jeden Prozessor zu behandeln (im 3. werden die Werte umsortiert)
- Auf folgender Folie zunächst eine vereinfachte Fassung mit nur einem Zwischenschritt

2-Schritt Paralleles Counting Sort

– omp parallel:

```
if (myid == 0) {  
    tmp.resize(nthreads);  
}
```

```
#pragma omp barrier  
tmp[myid].resize(nthreads);
```

```
for(size_t i = myLowN; i < myHighN; ++i) {  
    value_type v = m_valueGetter(*(beg + i));  
    long offset = prefixSums[v] - 1;  
    long const targetProc = offset / myRangeN;  
    tmp[myid][targetProc].push_back(*(beg + i));  
}
```

Nicht bekannt wie viele
Werte jedes
tmp[myid][targetProc]
erhalten wird

```
#pragma omp barrier  
; // "this pragma must immediately precede a statement"  
long offset;  
for(size_t i = 0; i < nthreads; ++i) {  
    std::vector<it_value_type> const &bin = tmp[i][myid];  
    for(size_t j = 0; j < bin.size(); ++j) {  
        it_value_type vind = bin[j];  
        value_type v = m_valueGetter(vind);  
        offset = --prefixSums[v];  
        *(beg + offset) = vind;  
    }  
}
```

Hier nicht balancierte
Last wenn Werte nicht
gleichmäßig über
Wertebereich verteilt

3-Schritt Paralleles Counting Sort

– omp parallel:

```
std::valarray<unsigned> sendToProc(nthreads);

for(size_t i = myLowN; i < myHighN; ++i) {
    value_type v = m_valueGetter(*(beg + i));
    long offset = prefixSums[v] - 1;
    long const targetProc = offset / myRangeN;
    tmp[myid][(myid + targetProc + sendToProc[targetProc]) % nthreads].push_back(*(beg + i));
    ++sendToProc[targetProc];
}
```

#pragma omp barrier

```
for(size_t i = 0; i < nthreads; ++i) {
    FixedSizeArray<it_value_type> const &bin = tmp[i][myid];
    for(size_t j = 0; j < bin.size(); ++j) {
        it_value_type vind = bin[j];
        value_type v = m_valueGetter(vind);
        long offset = prefixSums[v] - 1;
        long const targetProc = offset / myRangeN;
        tmp2[myid][targetProc].push_back(vind);
    }
}
```

#pragma omp barrier

```
long offset;
for(size_t i = 0; i < nthreads; ++i) {
    FixedSizeArray<it_value_type> const &bin = tmp2[i][myid];
    for(size_t j = 0; j < bin.size(); ++j) {
        it_value_type vind = bin[j];
        value_type v = m_valueGetter(vind);
        offset = --prefixSums[v];
        *(beg + offset) = vind;
    }
}
```


Lookup Zelle->Partikel

- Vorteile
 - Lookup sehr schnell $O(1)$
 - Paralleles sortieren theoretisch nur $O(n)$ statt $n \cdot \log(n)$
 - Kein Faktor $\log(n)$ wie bei Baumstruktur
 - Speicherbedarf für n_R „Listen“ ist minimiert: $n_R \cdot 4$ Byte
 - doppelt verkettete Liste: $n_R \cdot 2 \cdot 8$ Byte
 - nicht mehr als 2^{32} Partikel
 - Sortieren verschiebt außerdem Partikel die das Gebiet verlassen haben ans Ende der Liste
- Nachteile
 - Neuerstellen der gesamten Datenstruktur in jedem Schritt
 - Denkbar wäre bei anderer Datenstruktur umsortieren nur von den Partikeln die ihre Zelle gewechselt haben

Hashing

- Bilde elementweise Rest 2^m des Integer-Index

- $I_H = I \bmod 2^m$
- Anzahl Hash-Zellen: $n_H = (2^m)^d = 2^{md}$
- Berechnung effizient durch **bitand** mit $(2^m - 1)$
- 1D-Hash Integer

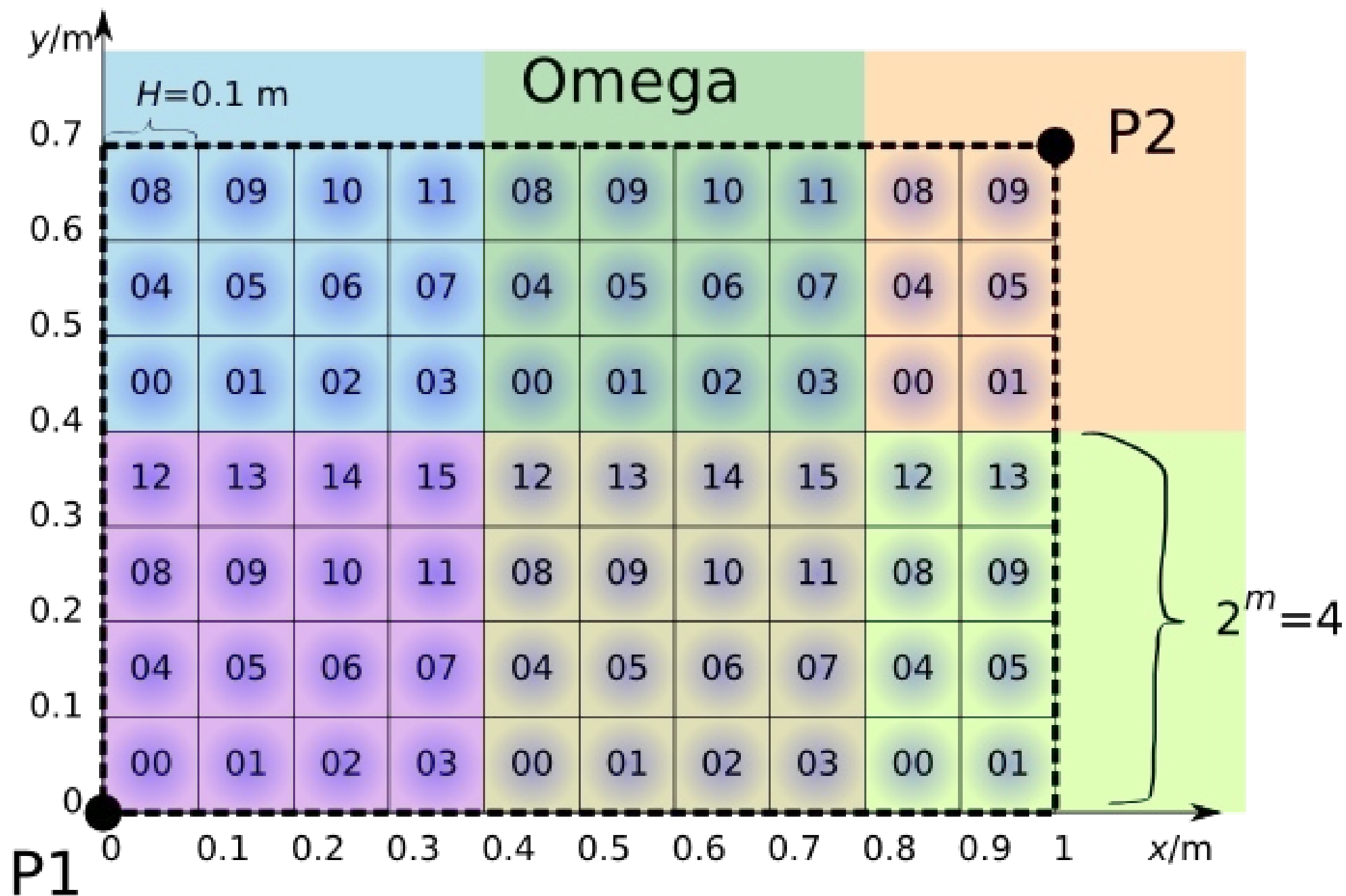
$$i_H = I_H * W_H, \quad W_H = (1, 2^m, 2^{2m}, \dots)$$

- Berechnung effizient durch elementweises Linksschieben und Kombination mit **bitor**:

$$i_H = \mathbf{bitor}(I_H \ll S_H), \quad S_H = (0, m, 2m, \dots)$$

- Begrenzt Speicherbedarf: Array offsets von SortedParticleIndex hat nun nur Länge n_H
- Auch andere Hashfunktionen möglich
 - Bessere Lastbalancierung mit randomisierendem Hashing?

Hashing



Zeit-Integration

- Separates Projekt „integrate“, verschiedene Verfahren als C++-Templates implementiert
 - Verwendbar mit Skalaren und Vektoren
 - Typparameter „ForceFunctor“ berechnet Einflüsse
 - Klasse mit Funktionen operator() und update
- **Einzelschrittverfahren** verwenden zusätzliche Stützstellen zwischen t und $t + dt$
 - Explizites Euler-Verfahren (Sonderfall, keine Stützstellen)
 - Runge-Kutta-, Trapez-, Heun-Regeln
 - Verfahren bestimmt durch Ordnung p , Koeffizienten-Vektoren a , c und Koeffizientenmatrix b
 - p Funktionsauswertungen je Schritt
 - Quelle: Bronstein

Zeit-Integration

- Mehrschrittverfahren verwenden gewichtete Zustände aus der Vergangenheit
 - Adams-Bashforth-Methode (ABM)
 - Bis 7. Ordnung, weitere möglich
 - Eine Funktionsauswertung je Schritt
 - Adams-Moulton-Methode (AMM)
 - Implizites Verfahren, erfordert Schätzwert in der Zukunft, durch impliziten Schritt (nicht implementiert)
 - Verwenden Einzelschritt-Methode für die ersten Schritte
- Prädiktor-Korrektor-Verfahren (PK)
 - AMM mit ABM als Schätzer
 - Zwei Funktionsauswertungen je Schritt
- Quelle: Artikel [Mehrschrittverfahren](#) in der Wikipedia

Gebiets-Parallelisierung

- Idee: Einflüsse sind (fast) symmetrisch
 - Einfluss jedes Partikelpaars nur einmal berechnen
- Parallelisierung erfordert Aufteilung des Gebiets um race conditions zu vermeiden
 - Paare von Partikel müssen einem Thread zugeteilt werden
- Ansatz: Teile Paare von Rasterzellen Threads zu
 - Hilfsfunktionen sumForcesIn1Bin, sumForcesIn2Bins

- Ansatz in 1D: **1D Parallel force computation**

- 2 Durchläufe
- Parallelisierung der einzelnen Durchläufe

2 Passes
1st (even) pass
2nd (odd) pass

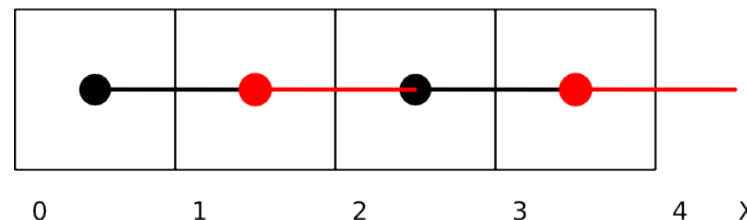
1D Stencil

Stencil Offsets (Oddity)

0> 1

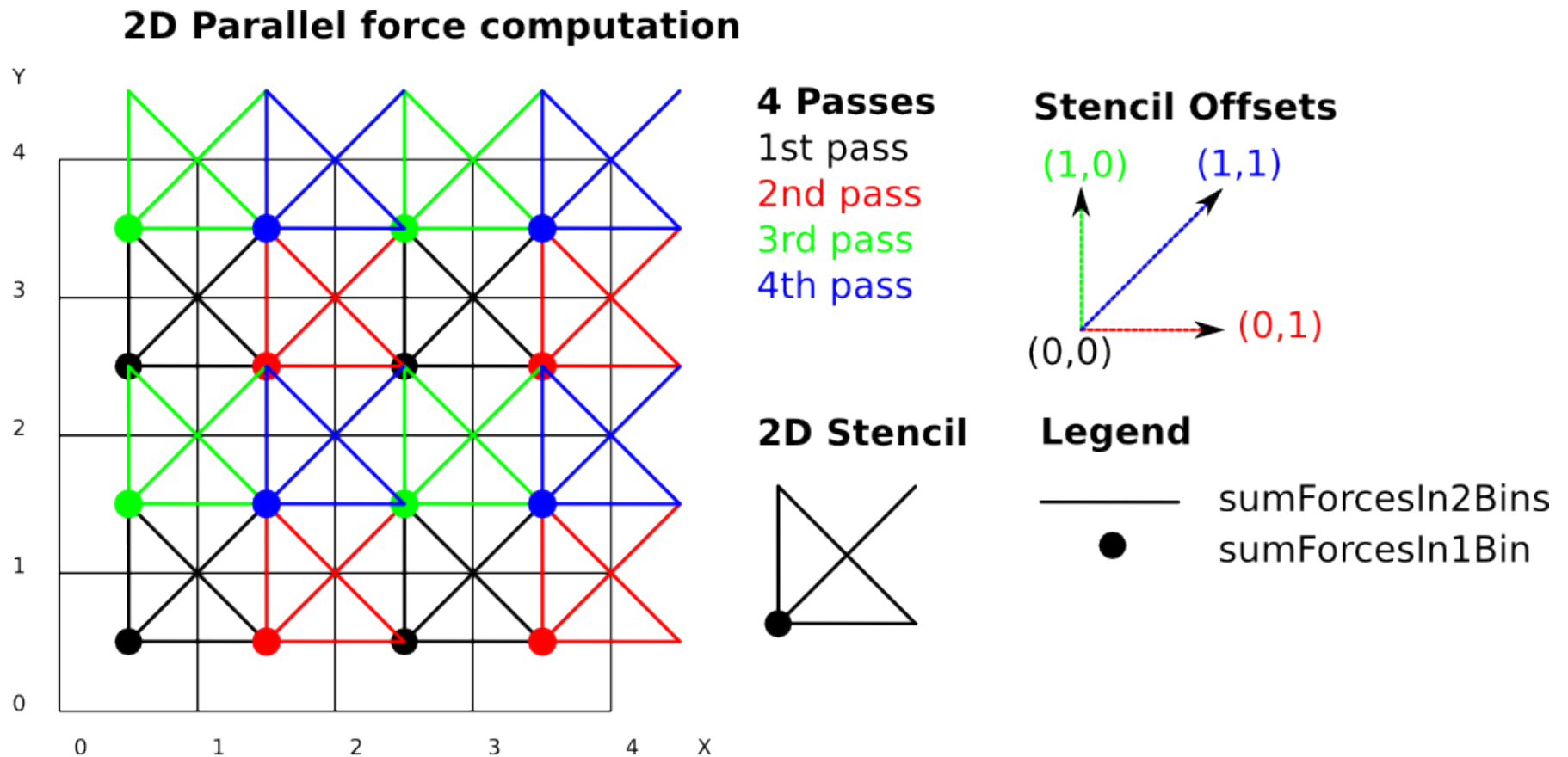
Legend

— sumForcesIn2Bins
● sumForcesIn1Bin



Gebiets-Parallelisierung 2D

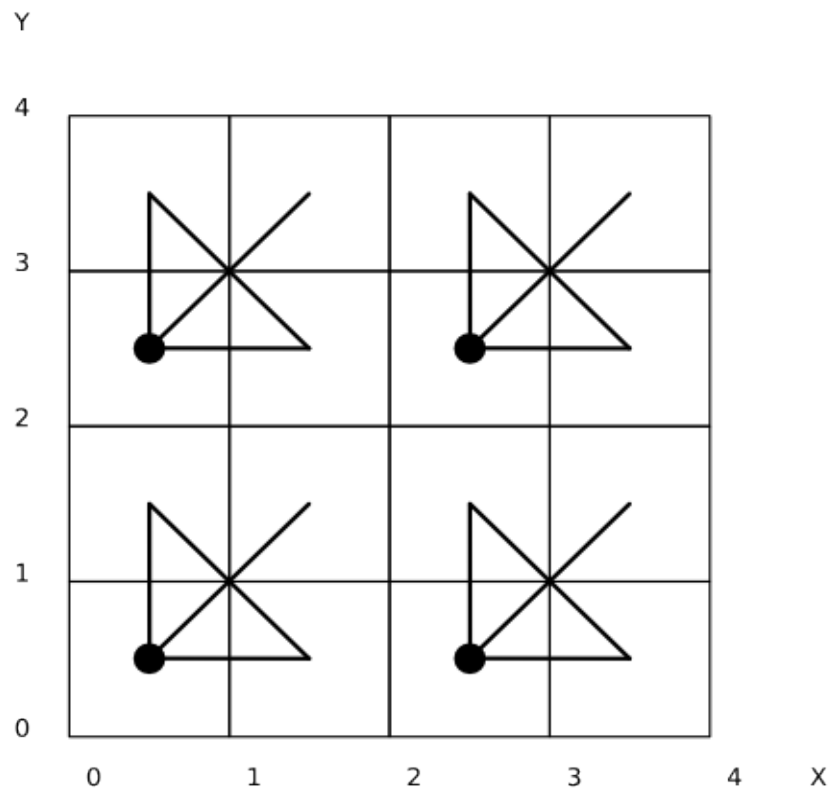
- Verallgemeinerung auf 2D, 3D?
- Graphische Lösung 2D:



Gebiets-Parallelisierung 2D

- Graphische Lösung 2D:

2D Parallel force computation - 1st pass



4 Passes

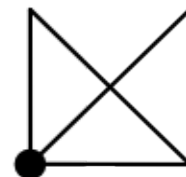
1st pass

2nd pass

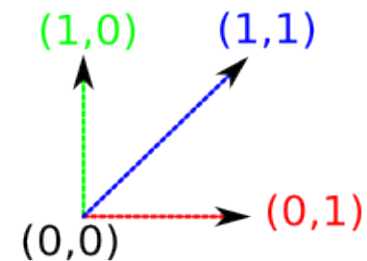
3rd pass

4th pass

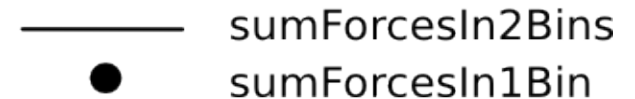
2D Stencil



Stencil Offsets



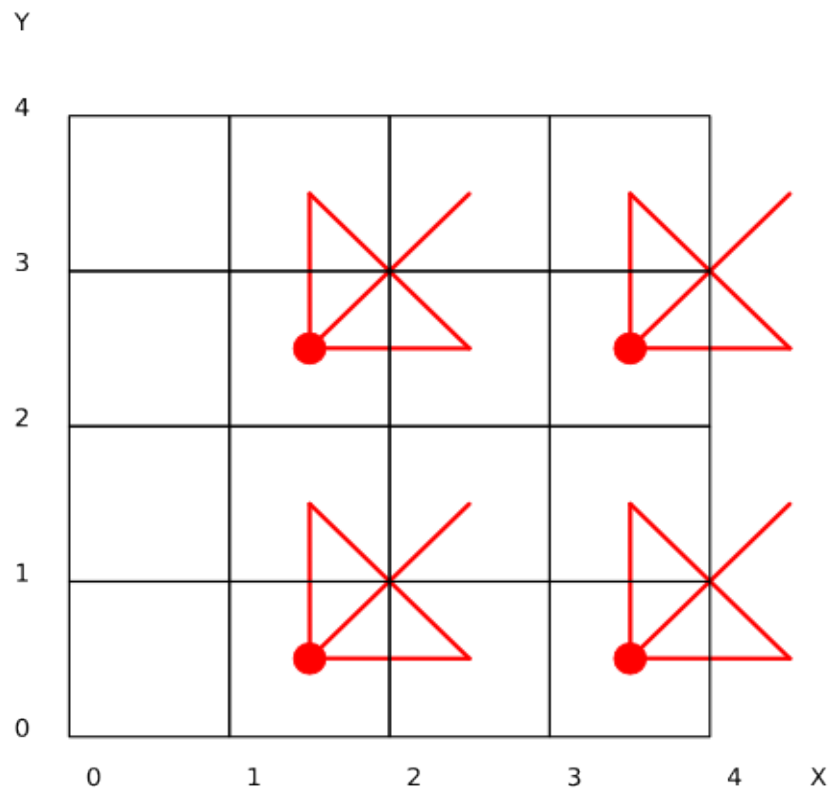
Legend



Gebiets-Parallelisierung 2D

- Graphische Lösung 2D:

2D Parallel force computation - 2nd pass



4 Passes

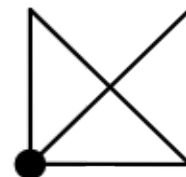
1st pass

2nd pass

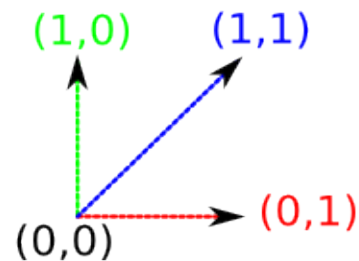
3rd pass

4th pass

2D Stencil



Stencil Offsets

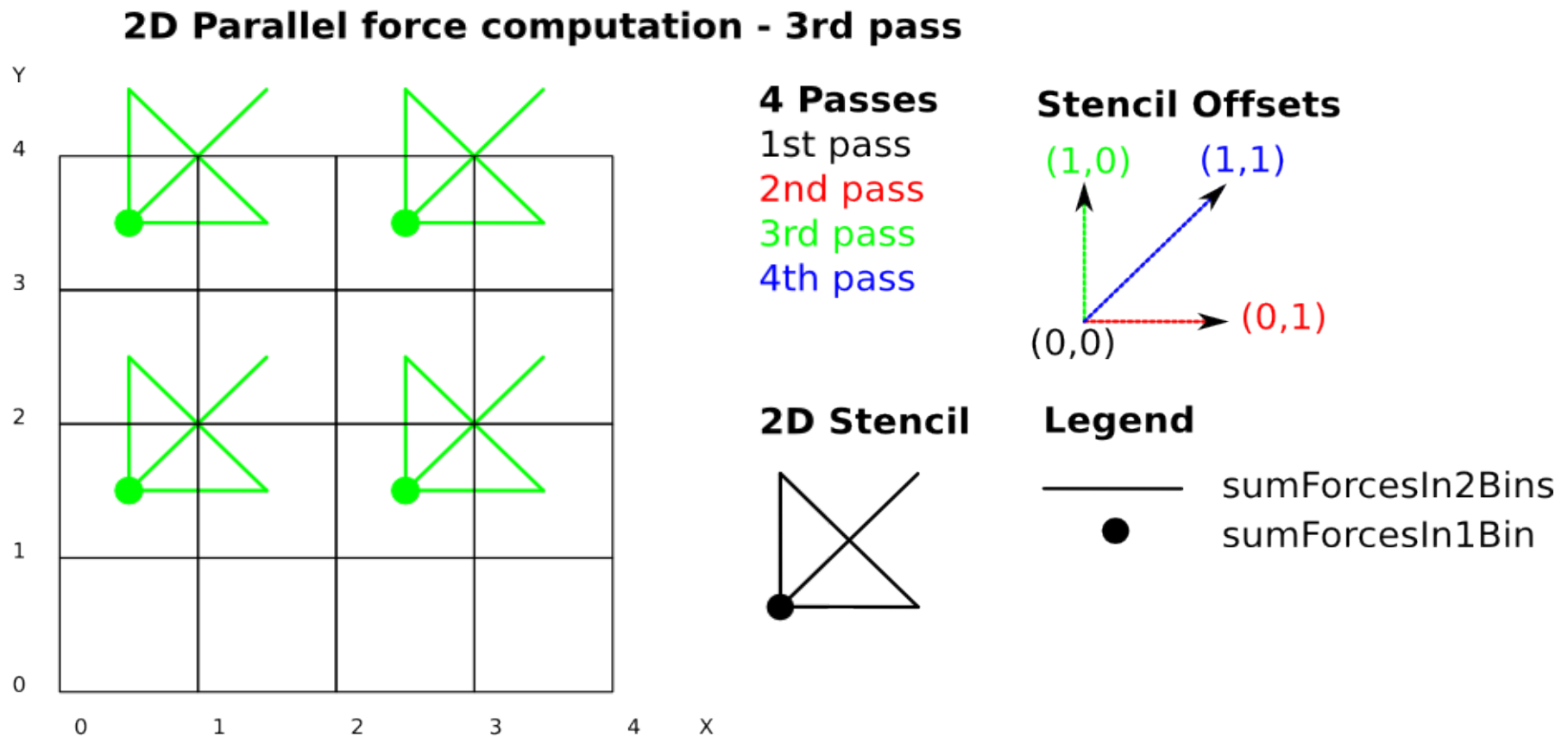


Legend

— sumForcesIn2Bins
● sumForcesIn1Bin

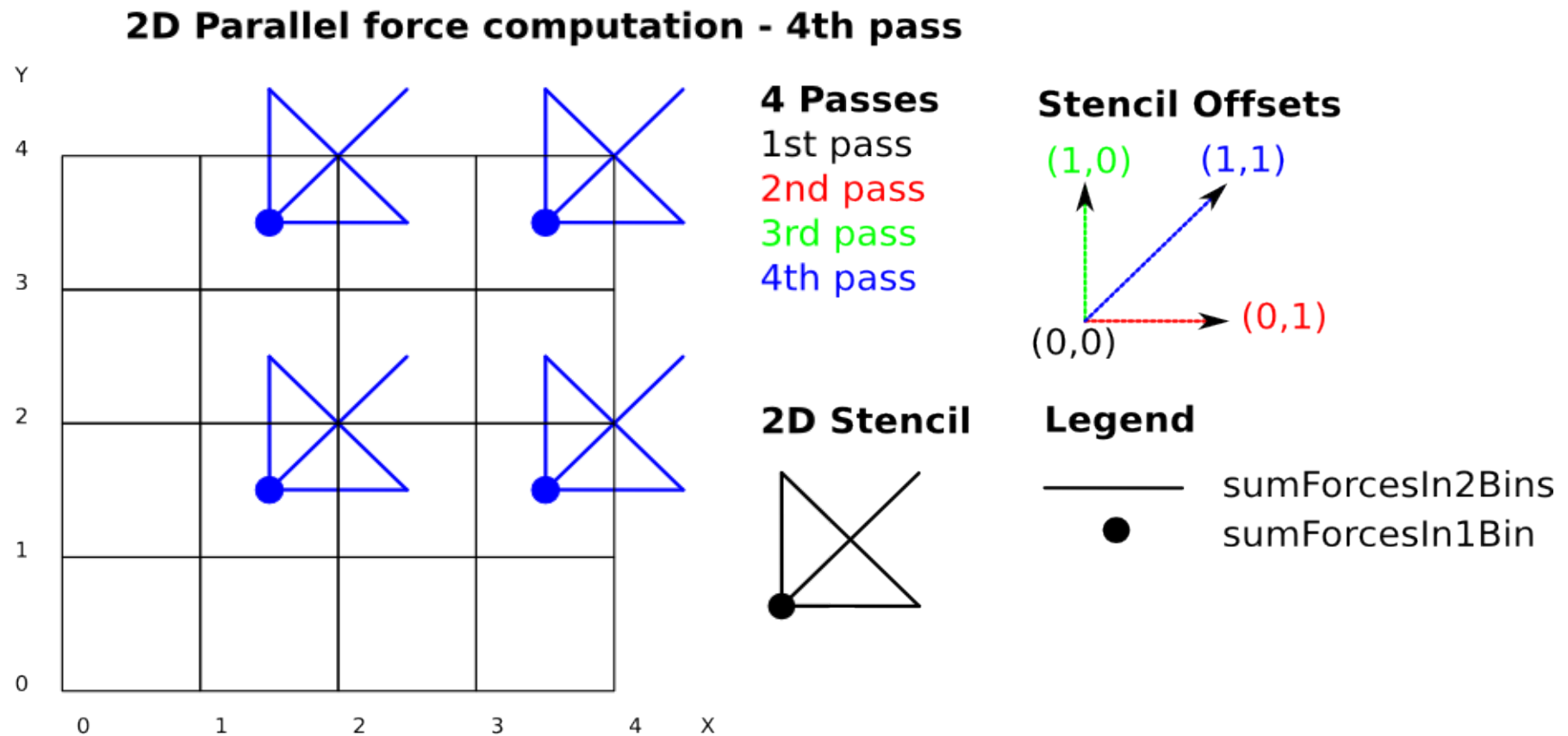
Gebiets-Parallelisierung 2D

- Graphische Lösung 2D:



Gebiets-Parallelisierung 2D

- Graphische Lösung 2D:



Gebiets-Parallelisierung

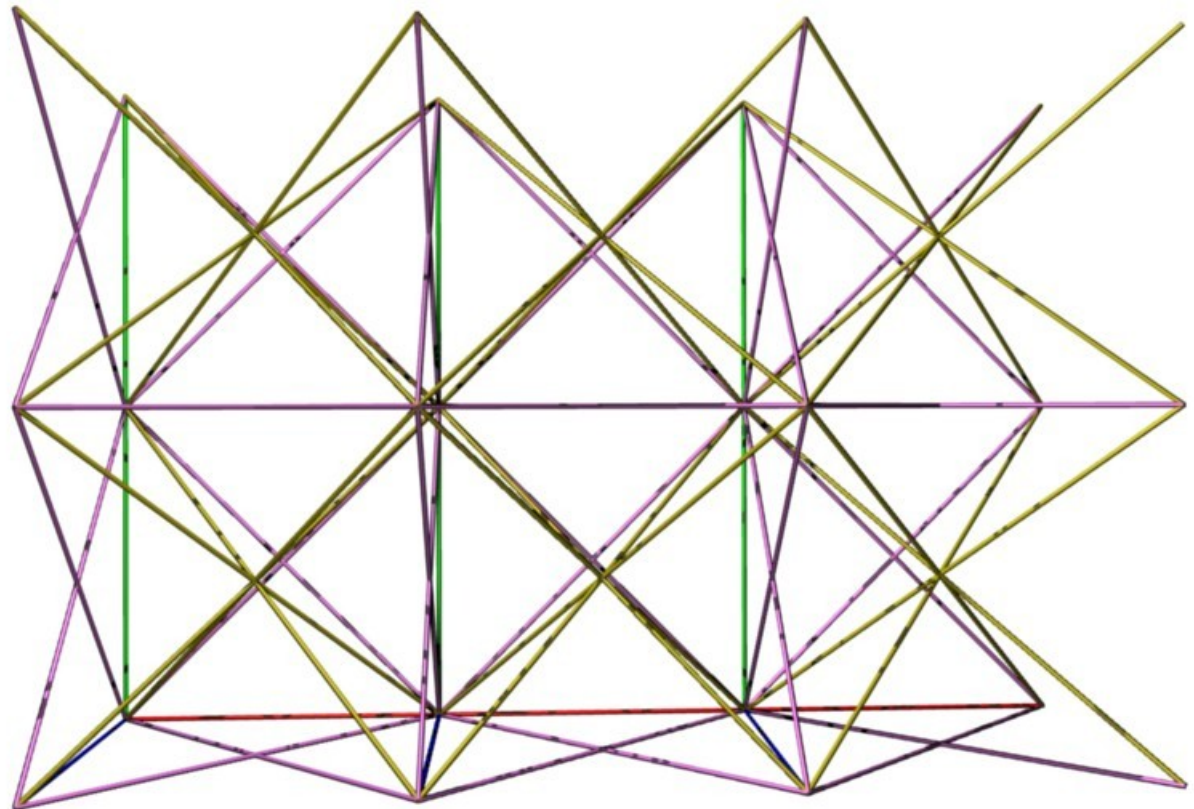
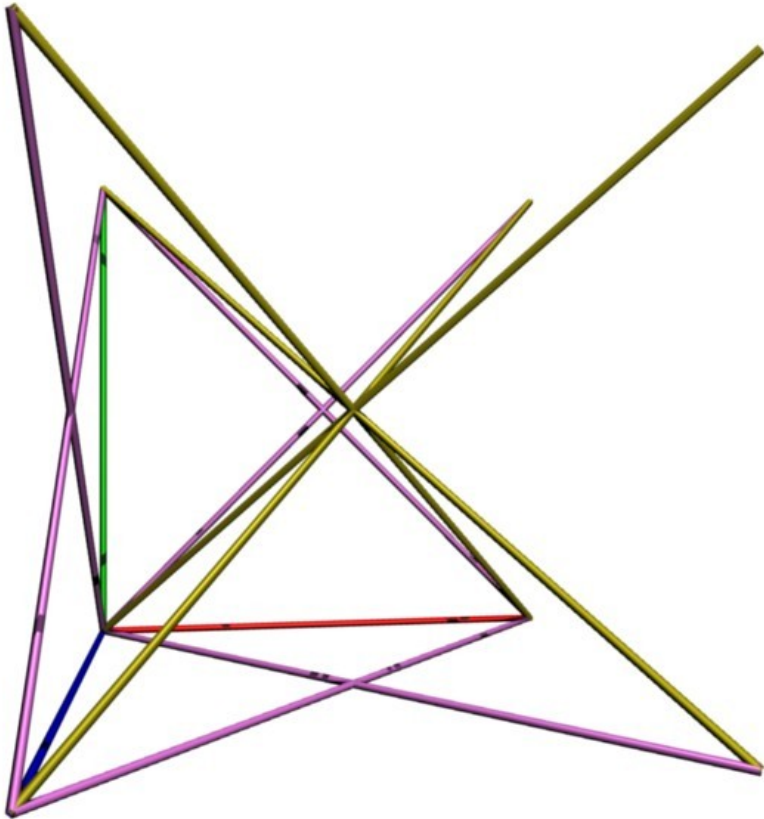
- Grund-Raster: Alle Zellen mit nur geradem Integer-Index
- Verschiebung (Offset):
 - 1D: gerade und ungerade Zellen 2
 - 2D und 3D: 2^d Möglichkeiten
 - Definiere Feld P mit allen möglichen Offsets:
 - Aufzählung von $\{0,1\}^d$
- Das Muster (Stencil) muß so aussehen, daß
 - Alle Relationen zwischen Zellen berücksichtigt werden
 - Die Stencils eines Durchlaufs sich nicht überlappen (race conditions)
 - SumForcesIn1Bin: Anwenden auf Zelle (0,0,...) des Stencils
 - SumForcesIn2Bins: Anwenden auf alle Kombinationen ($P[i]$ $P[j]$) für die $P[i] * P[j] = 0$

P bei d=2:

- (0, 0)
- (0, 1)
- (1, 0)
- (1, 1)

Gebiets-Parallelisierung 3D

- In 3D sieht der Stencil so aus:



Gebiets-Parallelisierung

- Algorithmus
 - **for** oddity in P: *// 2^d Durchläufe*
 - Parallel **for** pos in even^d (hashed) raster positions:
 - sumForcesInOneBin(hash(pos + oddity))
 - **for** i in $[1, 2^d - 1]$
 - **for** j in $[0, i - 1]$ *// alle Kombinationen (i,j)*
 - If ($i \text{ bitand } j$) == 0
 - sumForcesIn2Bins(hash(pos + oddity + P[i]), hash(pos + oddity + P[j]))
 - Annahme: ($i \text{ bitand } j$) = 0 \Leftrightarrow (P[i] * P[j] = 0)
 - P[i] enthält i in Binärdarstellung als {0,1}-Vektor
 - Parallele Schleife mit schedule(dynamic) oder schedule(static,10) um Last gleichmäßig zu verteilen

Gebiets-Parallelisierung

- Wie viele Relationen zwischen Zellen gibt es in dem Stencil?
 - $I_1=1, I_2=4, I_3=13$
 - $I_d=(3^d-1)/2$
 - Sequence [A003462](#) aus der AT&T Integer Sequence Encyclopedia
- Warum gerade die i,j mit $P[i] * P[j] == 0$?
 - Wenn $P[i] * P[j] != 0$ dann haben beide (mindestens) eine 1 in einer/mehreren Koordinate(n)
 - Diese Zellen-Kombination wird in anderem Durchlauf berücksichtigt: in dieser/n Dimension(en) 1 abziehen
 - Wird in dem Durchlauf berücksichtigt in dem oddity gerade diesen Wert hat.

Gebiets-Parallelisierung

- Verbesserung von sumForcesIn1Bin, sumForcesIn2Bins:
 - Sortiere in SortedParticleIndex mit anderem Prädikat:
 - Sortiere nach Raster-Index
 - Dann nach beweglich/unbeweglich
 - Nun Partikel mit gleichem Index nebeneinander, erst bewegliche, dann unbewegliche
 - Lexikographische Ordnung nach (isOut, index, isBoundary)
 - Speichere Offsets bewegliche/unbewegliche Partikel separat
 - Verdoppelt Länge von offsets
 - Dann z.B. in sumForcesIn2Bins(a,b):
 - Kombiniere bewegliche aus *a* mit allen aus *b*
 - Kombiniere unbewegliche aus *a* mit beweglichen aus *b*
 - Tests p.isBoundary(), o.isBoundary() in Schleife entfallen

Gebiets-Parallelisierung

- Probleme
 - Berechnung der Indizes ist nicht umsonst
 - Verwende 2er-Potenzen und bitweise Operationen
 - Effizienteste Aufzählung?
 - Immer Durchlaufen aller Rasterzellen auch wenn viele leer
 - Parameter m darf nicht zu klein und nicht zu groß sein für gute Laufzeiten
 - Vergleich naive Summation: Parameter m so groß wie es von Speicher her vertretbar ist

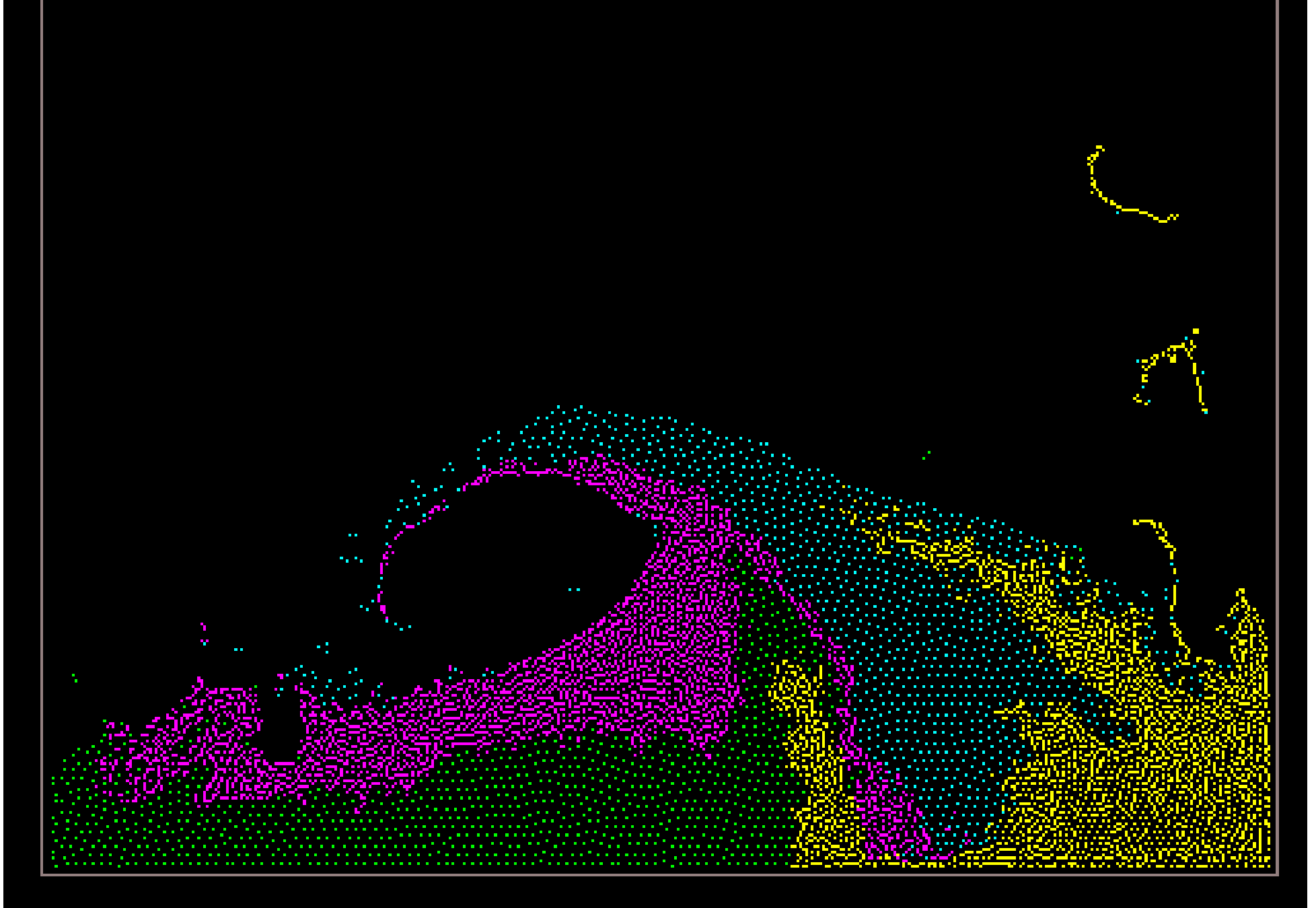
Vergleich mit naivem Ansatz

- Parallelisierung über Partikel
 - Symmetrie nicht ausgenutzt ($2r$ Relationen berechnet)
 - Nur wo Partikel sind wird auch gerechnet
 - $n * 3^d$ Lookups in Zelle->Partikel Mapping
- Parallelisierung über Gebiet
 - Symmetrie genutzt (r Relationen berechnet)
 - Alle Einflüsse zwischen zwei Rasterzellen auf einen Schwung berechnet
 - gut für Cache
 - In jedem Durchlauf Lookup jeder Raster-Zelle und aller Partikel
 - schlecht für Cache
 - $2^d * 2^{md} = 2^{d(m+1)}$ Lookups insgesamt

Initialisierung von Partikeln

- Aufgabe: Erstellen von Szenarien
- Lade Randpartikel aus Datei (3 Koordinaten je Partikel)
 - Generiert mit Skript oder Modeler (Blender via X3D Export)
- Wasser: Angabe von num „Gebieten“
 - Je Gebiet Angabe von Gebiet (zwei Punkte), Anzahl Partikel, Dichte, Geschwindigkeit, Epsilon
 - Kollisionen, Explosionen
 - Flächen- und Linienbelegungen (entlang Achsen)
 - Bilde equidistantes Gitter mit Störung durch Epsilon
 - $\text{Masse} = \text{Volumen} * \text{Dichte} / \text{Anzahl}$
 - Ermöglicht unterschiedlich hoch „aufgelöste“ Wasser
 - dadurch Partikel mit verschiedener Masse!
 - Eine „Farbe“ je Gebiet

Verschiedene Auflösungen



Initialisierung von Partikeln

- Weiterer Parameter je „Gebiet“ i : Free
 - freischwebend ja oder nein
- Ja: Dichte(Partikel) = Dichte(Gebiet)
- Nein: Dichte(Partikel) = Dichte(Tiefe, Gebiet)

– Löse $P(\rho) = \rho_{0,i} g h$

$$B \left(\left(\frac{\rho}{\rho_{0,i}} \right)^{\gamma} - 1 \right) = A = \rho_{0,i} g h$$

– Maxima sez:

$$\rho = \left(\frac{\overbrace{\rho_{0,i}^{\gamma} \rho_{0,i} g h}^A}{B} + \rho_{0,i}^{\gamma} \right)^{\frac{1}{\gamma}}$$

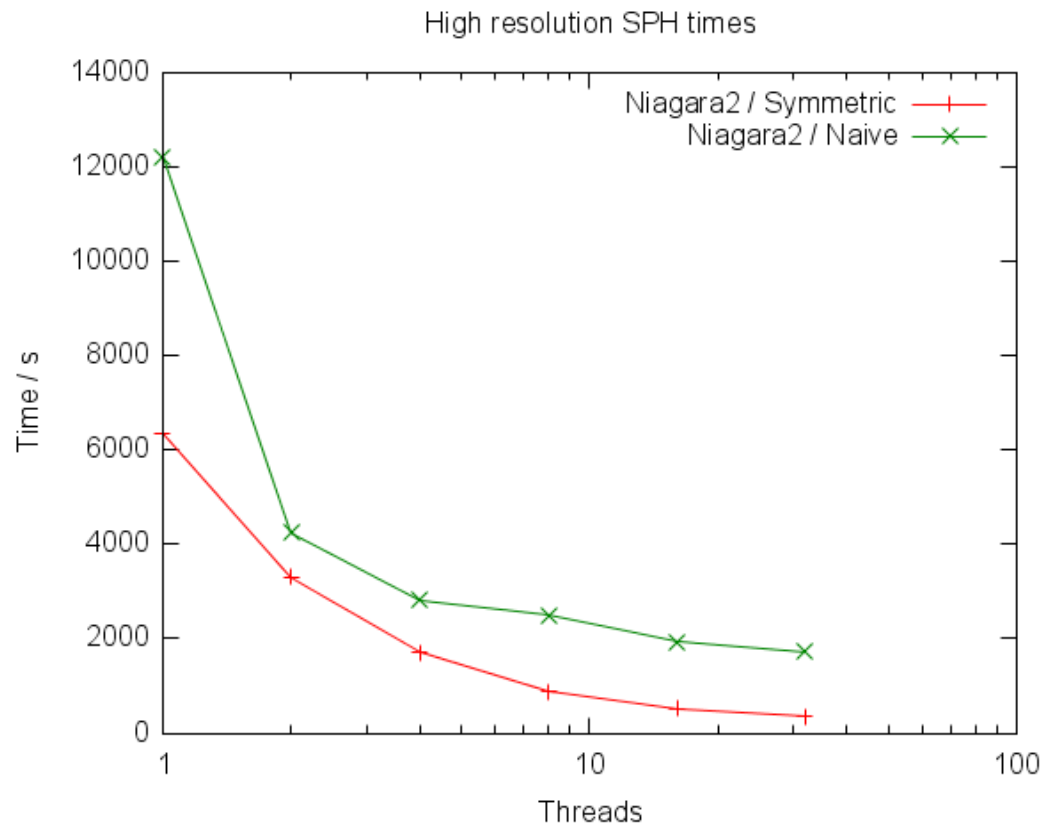
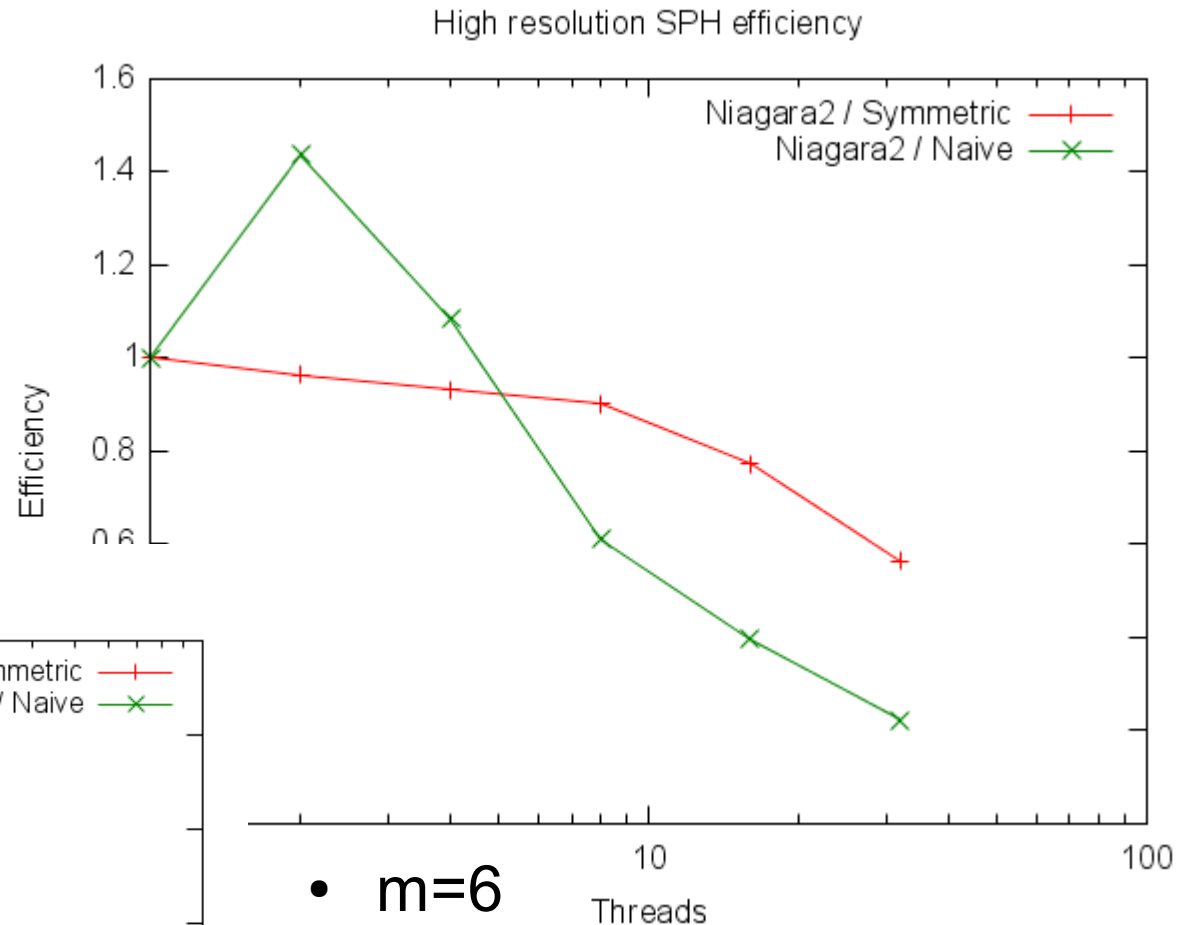
- Anders als bei Monaghan
- Tiefe abhängig von Gitterposition und Schwerkraft
 - Todo: relativ zu definiertem „Boden“ (Stapeln von Gebieten in Gefäß)

Einfluß des Hashings auf Distanztests

- 2D, 2460 Randpartikel, $H=0,01$, $\Omega=1 \text{ m}^2$
 - Testfall settings/schwapp-2d.sh
 - 4096 Partikel verteilt auf $0,4 \text{ m}^2$:
 - $m=4$: 2,47 Relationen/Partikel, 73 Distanztests/Partikel
 - $m=5$: 2,47 Rels/P, 17,6 Dtests/P
 - $m=6$: 2,47 Rels/P, 5,3 Dtests/P
 - $m=7$: 2,47 Rels/P, 4,2 Dtests/P
 - 16384 Partikel verteilt auf $0,4 \text{ m}^2$:
 - $m=4$: 15,3 Relationen/Partikel, 289 Distanztests/Partikel
 - $m=5$: 15,3 Rels/P, 70,2 Dtests/P
 - $m=6$: 15,3 Rels/P, 24,4 Dtests/P
 - $m=7$: 15,3 Rels/P, 23 Dtests/P

Leistung: Zeiten und Effizienz

- 3D
- PK-Integrator
- Partikel $n = 1,3$ Mio.
- Davon 185 000 Rand
- 50 Zeitschritte



- $m=6$
- $H=2,5$ mm
- ca. 7 Rels/P, 100 Dtests/P
- Zellen $n_H = 64$ Mio
- Speicher 1,2 GB

Zusammenfassung

- Funktionierender SPH Kode
 - Todo: physikalische Kalibrierung / realistische Tests
 - Todo: Quellen/Injektion von Partikeln
 - Vorbereitet für weitere Phasen / Partikelarten
- SortedParticleIndex effiziente Indexstruktur
 - Todo: Vergleich mit anderen Indexstrukturen
- Hashing reduziert Speicherplatz
- Gebietsparallelisierung spart Rechenaufwand und skaliert besser als naive Summation